

①

Heisenberg modell med
geometrisk frustrasjon.

Vi skal se på en ~~antiferromagnetisk~~
Heisenberg modell med nn-nærmeste
nabo vekselvirkning: anti-ferromagnetisk
vekselvirkning av Ising-type

$$H = -J_1 \sum_{\langle i,j \rangle} \vec{S}_i \cdot \vec{S}_j - J_2 \sum_{\langle\langle i,j \rangle\rangle} \vec{S}_{iz} \cdot \vec{S}_{jz}$$

$$J_1 > 0 \quad ; \quad J_2 < 0 \quad ; \quad \begin{matrix} \langle i,j \rangle : nn \\ \langle\langle i,j \rangle\rangle : nnn \end{matrix}$$

Spin-flølje analyse av ferromagnetisk
ordnet tilstand

$$\left. \begin{aligned} S_{iz} &= S^- a_i^+ a_i \\ S_i^- &\approx \sqrt{2S} a_i^+ \\ S_i^+ &\approx \sqrt{2S} a_i \end{aligned} \right\} \text{Magnon-}\text{representation}\text{ av spinn-}\text{fluktuasjonene.}$$

$$\vec{S}_i \cdot \vec{S}_j = S_{iz} S_{jz} + S_i^+ S_j^-$$

$$S_{iz} S_{jz} = (S^- a_i^+ a_i) (S^- a_j^+ a_j)$$

$$= S^2 - S (a_i^+ a_i + a_j^+ a_j)$$

$$= S^2 - 2S a_i^+ a_i$$

$$S_i^+ S_j^- = 2S a_i^- a_j^+ = 2S a_i^+ a_j^-$$

$$H = -J_1 \sum_{\langle i,j \rangle} (S^2 - 2S a_i^+ a_j^- + 2S a_i^+ a_j^+) \quad (2)$$

$$+ J_2 / \sum_{\langle\langle i,j \rangle\rangle} (S - a_i^+ a_i^-)(S - a_j^+ a_j^-)$$

$$= -J_1 \sum_{\langle i,j \rangle} S^2 + J_2 / \sum_{\langle\langle i,j \rangle\rangle} S^2$$

$$+ 2J_1 S \sum_{\langle i,j \rangle} a_i^+ a_i^- - 2J_1 S \sum_{\langle i,j \rangle} a_i^+ a_j^-$$

$$- 2S J_2 / \sum_{\langle\langle i,j \rangle\rangle} a_i^+ a_i^-$$

$$= E_0 + 2J_1 S z_1 \sum_q a_q^+ a_q^-$$

$$- 2J_1 S \sum_q \gamma_q a_q^+ a_q^-$$

$$- 2S J_2 / z_2 \sum_q a_q^+ a_q^-$$

z_1 : # nearest neighbor
 z_2 : # next-nearest neighbor

$$= E_0 + \sum_q \omega_q a_q^+ a_q^-$$

$$\omega_q = 2J_1 S(z_1 - \gamma_q) - 2S J_2 / z_2$$

(3)

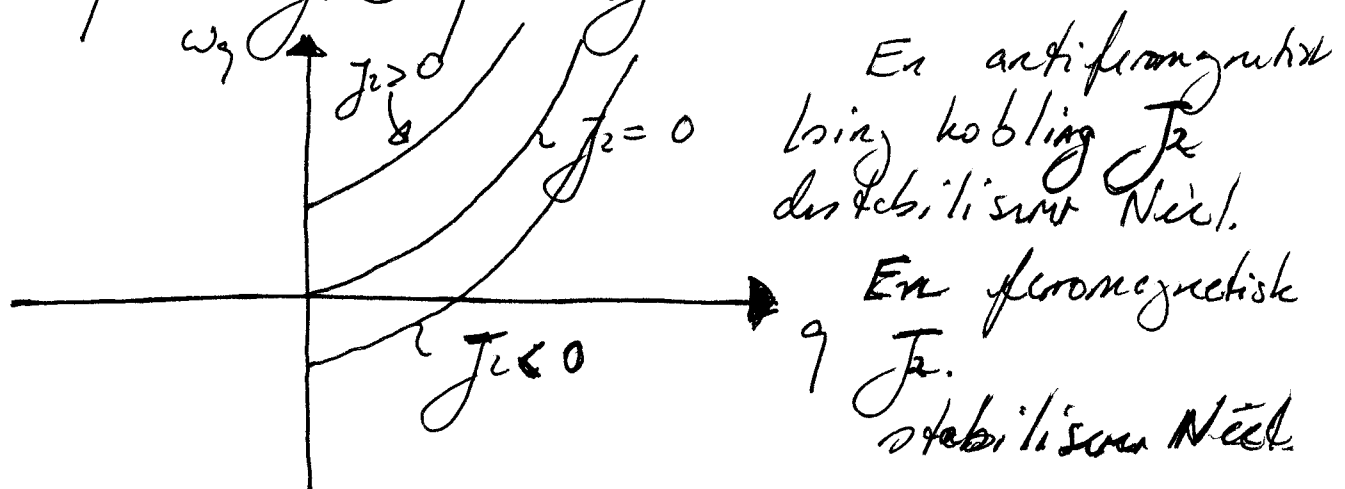
$$\delta g = 2(\cos g_x + \cos g_y)$$

$$z_1 = 4$$

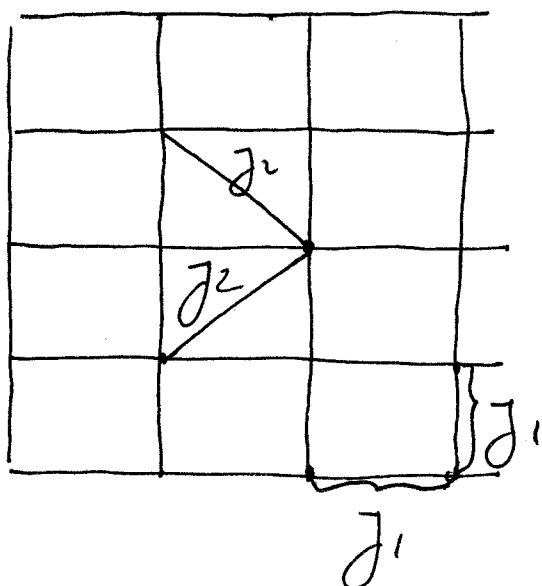
$$z_1 - \delta g = 4 - 2\left(1 - \frac{g^2}{2}\right)$$

$$= g^2$$

$$\omega_g = 2J_1/5g^2 - 2J_2/5z_2$$



Så fort $J_2 < 0$ får vi en instabilitet i z -ordeningen ved $T=0$ i Heisenberg ferromagnet.



Vi ser nä på det tilfællet at J_2
representere en XY-kobling

(4)

$$H = -J_1 \sum_{\langle i,j \rangle} \vec{S}_i \cdot \vec{S}_j + J_2 / \sum_{\langle\langle i,j \rangle\rangle} S_i^+ \cdot S_j^-$$

Vi introduserer magnetisk operatører igjen,
 for at undersøke stabiliteten til den
 ferromagnetiske ordenende gjennom tilstandene
 vi finner når $J_2 = 0$.

$$H = -J_1 \sum_{\langle i,j \rangle} S^2$$

$$+ 2J_1 S \sum_{\langle i,j \rangle} a_i^+ a_i - 2J_1 S \sum_{\langle i,j \rangle} a_i^+ a_j$$

$$+ 2S/J_2 / \sum_{\langle\langle i,j \rangle\rangle} a_i^+ a_j$$

$$= E_0 + 2J_1 S z_i \sum_{\vec{q}} a_{\vec{q}}^+ a_{\vec{q}} - 2J_1 S \sum_{\vec{q}} \chi_{\vec{q}} a_{\vec{q}}^+ a_{\vec{q}}$$

$$+ 2/J_2 / S \sum_{\vec{q}} b_{\vec{q}} a_{\vec{q}}^+ a_{\vec{q}}$$

(5)

$$\delta_g = 2(\cos g_x + \cos g_y)$$

$$b_g = 4 \cos(g_x) \cos(g_y)$$

$$H = E_0 + \sum_g \omega_g a_g^+ a_g$$

Jævnlig:

$$\omega_g = 2J_1 S(z_i - \delta_g) + 2J_2 S b_g$$

Jævnlig:

$$\omega_g = 2J_1 S(z_i - \delta_g) - 2J_2 S b_g$$

ii) Antifromagnetisk XY-kobling styres (J_2)

Nærl ordninger

iii) Ferromagnetisk ~~attr~~ destabilisere
Nærl ordninger.

I tilfelle i) vil vi vinne $\omega_g \xrightarrow{g \rightarrow 0}$ ved
at minimisere XY-komponenten av
 δ_g , og "føre" den inn i Z-komponenten.

I tilfelle ii) vil vi vinne $\omega_g (g \rightarrow 0)$
ved at destabilisere Nærl ordning.

Men vi kan få destabilisert for
endelige \vec{q} i begge tilfeller!!

⑥

 $\tilde{J}_2 < 0:$

$$\omega_g = \underline{2\tilde{J}_1 S_z - 2\tilde{J}_1 S (\gamma_g - \Delta b_g)}$$

$$\Delta = \frac{|\tilde{J}_2|}{\tilde{J}_1}$$

$$\gamma_g - \Delta b_g$$

$$= (2(\cos\gamma_x + \cos\gamma_y) - 4\Delta \cos\gamma_x \cos\gamma_y)$$

$$= 4(1-\Delta) - g^2 \quad ; \quad \Delta > 0$$

$$\omega_g = \underline{2\tilde{J}_1 S \cdot 4 - 2\tilde{J}_1 S [4(1-\Delta) - g^2]}$$

$$= \underline{8\tilde{J}_1 S \Delta + 2\tilde{J}_1 S g^2} \quad ; \quad \Delta > 0$$

 $\tilde{J}_2 > 0:$

$$\omega_g = -8\tilde{J}_1 S \Delta + 2\tilde{J}_1 S g^2 ; \quad \Delta > 0$$

For genügte $g, \tilde{J}_2 > 0:$

$$\omega_g = \underline{2\tilde{J}_1 S z_1 - 2\tilde{J}_1 S (\gamma_g + \Delta b_g)} ; \quad \Delta > 0$$

(7)

Vi kan sammelede ω_g for
 $y_2 > 0$ og $y_2 < 0$; et uttrykk:

$$\underline{\omega_g = 2 \tilde{y}_1 S z_1 - 2 \tilde{y}_1 S (\delta_g + \Delta b_g)}; \quad \cancel{\text{med}}$$

$$\Delta = \frac{\tilde{y}_2}{\tilde{y}_1}$$

$$\boxed{\begin{aligned} \delta_g &= 2(\cos q_x + \cos q_y) \\ b_g &= 4 \cos q_x \cdot \cos q_y \end{aligned}}$$

$$\omega_g = 0 \Rightarrow$$

$$z_1 = \delta_g + \Delta b_g$$

$$4 = z_1 = 2(\cos q_x + \cos q_y) + 4\Delta \cos q_x \cos q_y$$

$$2 = \cos q_x + \cos q_y + 2\Delta \cos q_x \cos q_y$$

$$2 = \cos q_x (1 + \Delta \cos q_y)$$

$$+ \cos q_y (1 + \Delta \cos q_x)$$

$$2 = x + y + \Delta xy ; |x| < 1; |y| < 1$$

$$\text{1. kvadrant : } 0 < q_x < \pi$$

$$0 < q_y < \pi$$

⑧

Dette uttrykket kan vi analysere slik:

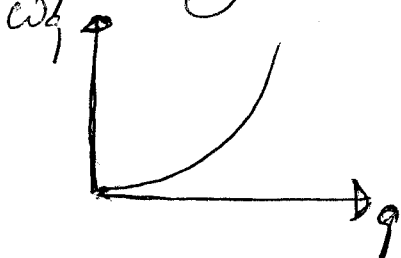
La først $\Delta = 0$

$$\omega = \cos q_x + \cos q_y$$

Første mulige løsning: $\vec{q} = 0$

Dette reflekterer det fiktive ϵ !

$$\omega_q = 2J_1 S(z_i - \delta_q) \quad (\Delta = 0)$$



Δ blir α negativ:

$$\omega = 1 - \frac{q_x^2}{2} + 1 - \frac{q_y^2}{2} - |\Delta| +$$

$$0 = -\Delta - \frac{q^2}{2} \Rightarrow \omega_q > 0 \quad \text{for } q \rightarrow 0$$

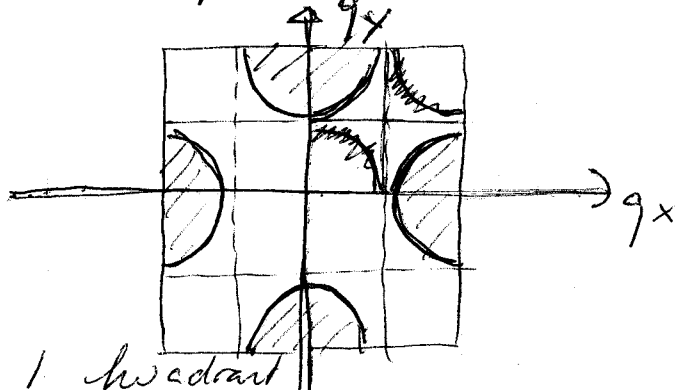
Ingen løsning i nærheten av $|\vec{q}| = 0$.

Fysisk betyr dette at en anti-paramagnetisk Je XY-kobling gjør at XY-spin komponentene elimineres av "pors" inn i z-komponenten: Nærbordninger styrkes.

(9)

$|z|$ veldig stor

$$2 = \cos q_x + \cos q_y - |z| \cos q_x \cos q_y$$



Rekkendriktning medt $q_x, q_y = \frac{\pi}{2}$

$$2 = \delta_x + \delta_y - |z| \delta_x \delta_y$$

$$2 - \delta_y = \delta_x (1 - |z| \delta_y)$$

$$2 - \delta_x = \delta_y (1 - |z| \delta_x)$$

$$\delta_y = \frac{2 - \delta_x}{1 - |z| \delta_x} = \frac{\delta_x - 2}{|z| \delta_x - 1}$$

Lijene som angir nullpunkten
for w_2 i gitt figur om

De skraverte domrene dukke først
opp når $|z|=2$ dvs $|J_2| \geq 2 J_1$

Det kores altså en minste-verdi
på $|J_2|$ for en distriktsver
Nær-ordnet histogram. Vår analyse

(10)

kan ikke binare hvilken tilstand
som er ny grunntilstand i det
Ned-tilstander blir ustabil.

Current begrenker spinnbolge-
analyse har en stabilitets-omkrets
av en ~~end~~ antall grunntilstand.

(11)

Varmekonfiskasjon:

$$C_V = \frac{\partial U}{\partial T}$$

$$U = -\frac{2}{\beta p} \ln Z$$

der Z er partisjonsfunksjon til den frie magneton-“gassen”, som vi er boson-gass.

$$Z = \prod_k \frac{1}{1 - e^{-\beta \omega_q}}$$

$$\ln Z = -\sum_k \ln (1 - e^{-\beta \omega_q})$$

$$U = \sum_k \frac{\omega_q}{e^{\beta \omega_q} - 1} = \sum_{\vec{q}} \omega_q n_B(\vec{q})$$

$$\text{der } n_B(\vec{q}) = \frac{1}{e^{\beta \omega_q} - 1}$$

Boson-fordelingen

$$C_V = \frac{1}{4 k_B T^2} \sum_{\vec{q}} \frac{\omega_q^2}{\sinh^2(\frac{\beta \omega_q}{2T})}$$

Siden vi har et gass i spekkertet, er integrasjon dominert av små q , slik at vi har

$$C_V = \frac{1}{4 k_B T^2} \frac{N \cdot 4\pi}{(2\pi)^3} \int dq \quad q^2 \frac{(2J_z / S)^2}{e^{(q^2 + \mu) / \beta J_z} - 1}$$

(12)

$$= \frac{1}{k_B T^2} \frac{N}{4\pi^2} \underset{\infty}{(2J_c/S)} e^{-2\beta J_c S}$$

$$\underbrace{\int_0^\infty dq \frac{q^2}{e^{\eta q^2}}}_{\left(\frac{1}{\eta}\right)^{\frac{3}{2}} \cdot \text{constant}}$$

$$\left(\frac{1}{\eta}\right)^{\frac{3}{2}} \cdot \text{constant}$$

$$\sim T^{-\frac{1}{2}} - \frac{2J_c S}{k_B T}$$

$$C_V \sim \underline{\underline{T^{-\frac{1}{2}} e}}$$

(13)

Magnetisering med geometrisk
fusstrajon:

$$M = \frac{1}{N} \left\langle \sum_i S_i \cdot \vec{a}_i \right\rangle$$

$$= \left\langle S_i \cdot \vec{a}_i \right\rangle$$

$$= S - \frac{1}{N} \sum_i \left\langle a_i^+ a_i^- \right\rangle$$

$$= S - \frac{1}{N} \sum_j \left\langle a_j^+ a_j^- \right\rangle$$

$$= S - \frac{1}{N} \sum_j \frac{1}{e^{\beta \omega_j} - 1}$$

$$|J_2| < |J_1| \Rightarrow$$

$$\min_{\vec{q}} (\omega_j) \quad \text{for } \vec{q} = 0$$

Større $\beta \rightarrow$ vi ser på en rekke retning \vec{q} :

$$\omega_j = 2J_1 S z_j - 2J_1 S (\gamma_j - \Delta b_j)$$

$$= 2J_1 S(z_j - \gamma_j) + 2|J_2| S b_j$$

$$= J_1 S q^2 + 2|J_2| S b_j$$

$$\frac{1}{N} \sum_j \frac{1}{e^{\beta \omega_j} - 1} \approx \frac{1}{(2\pi)^3} 4\pi \int_0^\infty \frac{dq}{e^{\beta C_0 q^2} - e^{\beta \gamma_0 S q^2}}$$

$$= \frac{1}{4\pi^2} e^{-2\beta|J_2|S} \int_0^\infty \frac{dq}{e^{C_0 q^2} - e^{\beta \gamma_0 S q^2}}$$

(14)

$$x = \sqrt{m} g$$

$$\frac{1}{4\pi^2} e^{-2\beta J_z/S} \frac{1}{m^{3/2}} \cdot c$$

$$= A T^{\frac{3}{2}} e^{-\frac{2J_z/S}{k_B T}}$$

$$M = S - A T^{\frac{3}{2}} e^{-\frac{2J_z/S}{k_B T}}$$

• eksponentielt med T -korrekjon til $T=0$ resulterer, ettersom J_z funnslig er i gass i magnetfeltet for $g=0$, som gjør det "vanstlige" at distabiliteten er ordinær, fullt polarisert, Neutritalsende.